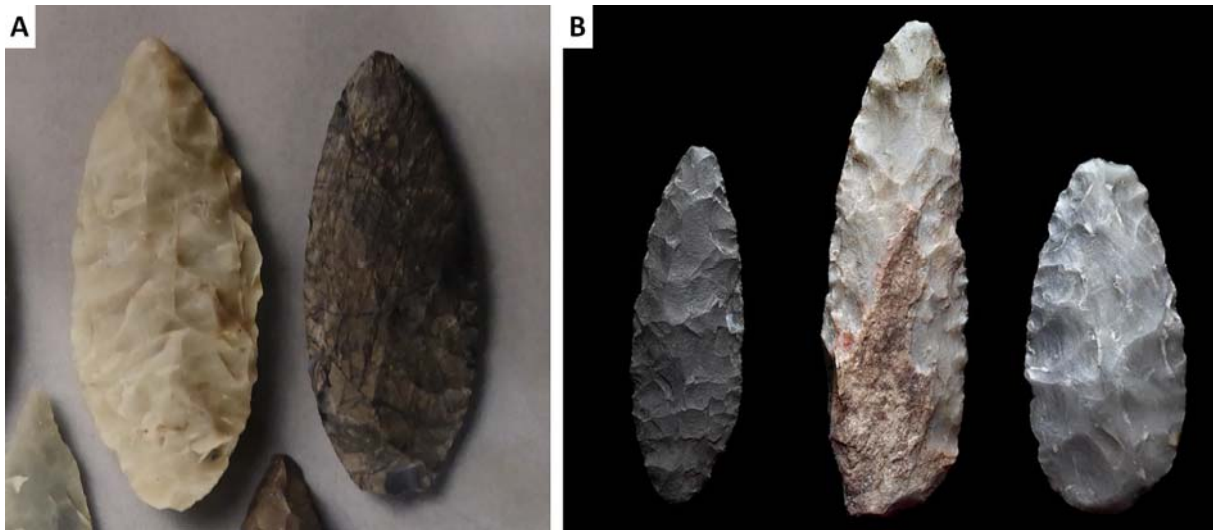


Melléklet I.

TÓTH Zoltán Henrik; KRISTÁLY Ferenc

I. melléklet



Ia ábra: Fehér színűre égett ($870\text{ }^{\circ}\text{C} <$), I. típusú metariolit levéleszköz a Szeleta-barlangból (MNM, Ltsz.: Pb/91). Tőle jobbra a dolgozat szerzője által barnára égett, III. típusú metariolitnak hitt levéleszköz (Szeleta-barlang, MNM, Ltsz.: Pb/71,). Későbbi terepi kutatások során derült ki, hogy ennek nyersanyaga patinásodott felületű, ún. „bükki szarukő” (Pelikán, 1986; Péntek et al., 2016). Fotó: Szabó Adám 2015. 13. old. A fehér színű kőeszköz valószínűsíthető előkerülési helye a Főfolyosó hátulsó szakasza (D barlangrész) II. szintjének vörösesbarna (5-ös) rétege. Mester Zsolt közlése a Mottl Mária által készített alaprajz alapján, (Mester, 2002).

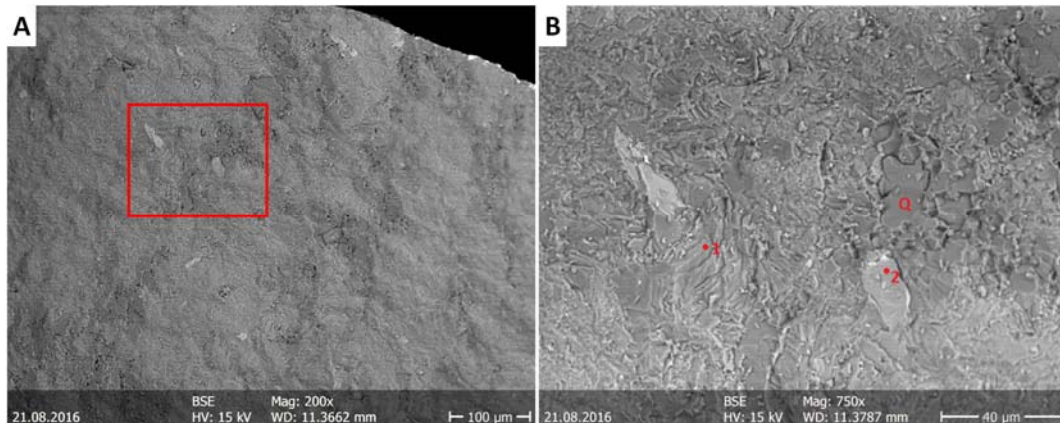
Ib ábra: Bekormolódott felületű (balra, Ltsz.: Pb/70), valószínűleg átégett (középen, szürkésfehér, vöröses foltokkal, Ltsz. Pb/92) és nyers (jobbra, Ltsz. Pb/86.) metariolit bifaciális megmunkálású eszközök a Szeleta-barlangból. A Magyar Nemzeti Múzeum gyűjteménye. (Fotó: Dabasi András) A kormos felületű kőeszköz valószínűsíthető előkerülési helye az Előcsarnok (B barlangrész) I. szintjének világosszürke (6-os) rétege, a szürkésfehérre pedig a Főfolyosó hátulsó szakasza (D barlangrész) II. szintjének vörösesbarna (5-ös) rétege. Mester Zsolt közlése a Mottl Mária által készített alaprajz alapján (Mester, 2002).

Fig. Ia: White burnt ($870\text{ }^{\circ}\text{C} <$) type I metarhyolite biface from the Szeleta cave (HNM, Inv. Nr.: Pb / 91). In the right: Biface from the Szeleta cave, which was thought to be made of burnt type III. metarhyolite (HNM, Inv. Nr.: Pb / 71,). Subsequent field research has shown that the raw material of this piece is "black hornstone" (Pelican, 1986; Péntek et al., 2016). Photo: Szabó Adám 2015. p.13. The exact position of the white stone tool in the cave is unclear in the documentation; most probably it was found in the back section of the main corridor (part C of the cave), II. level, in the reddish-brown colored layer Nr. 5. (information after the layout of Mária Mottl: Zsolt Mester).

Fig. Ib: Sooty (Left, HNM, Inv. Nr.: Pb /70.), possibly burnt (middle one, whitish gray with reddish patches, HNM Inv. Nr.: Pb/92.) and raw (right, HNM, Inv. Nr.: Pb/86.) metarhyolite bifaces from the Szeleta cave. Collection of the Hungarian National Museum. (Photo: András Dabasi) Due to the unclear documentation; Pb/70. was most probably found in cave's "lobby" (B part), I. level, in the light grayish colored layer 6. Pb/92. was most probably found in the back section of the Main Corridor (cave section D) in the light grayish layer 6. (information after the layout of Mária Mottl: Zsolt Mester)

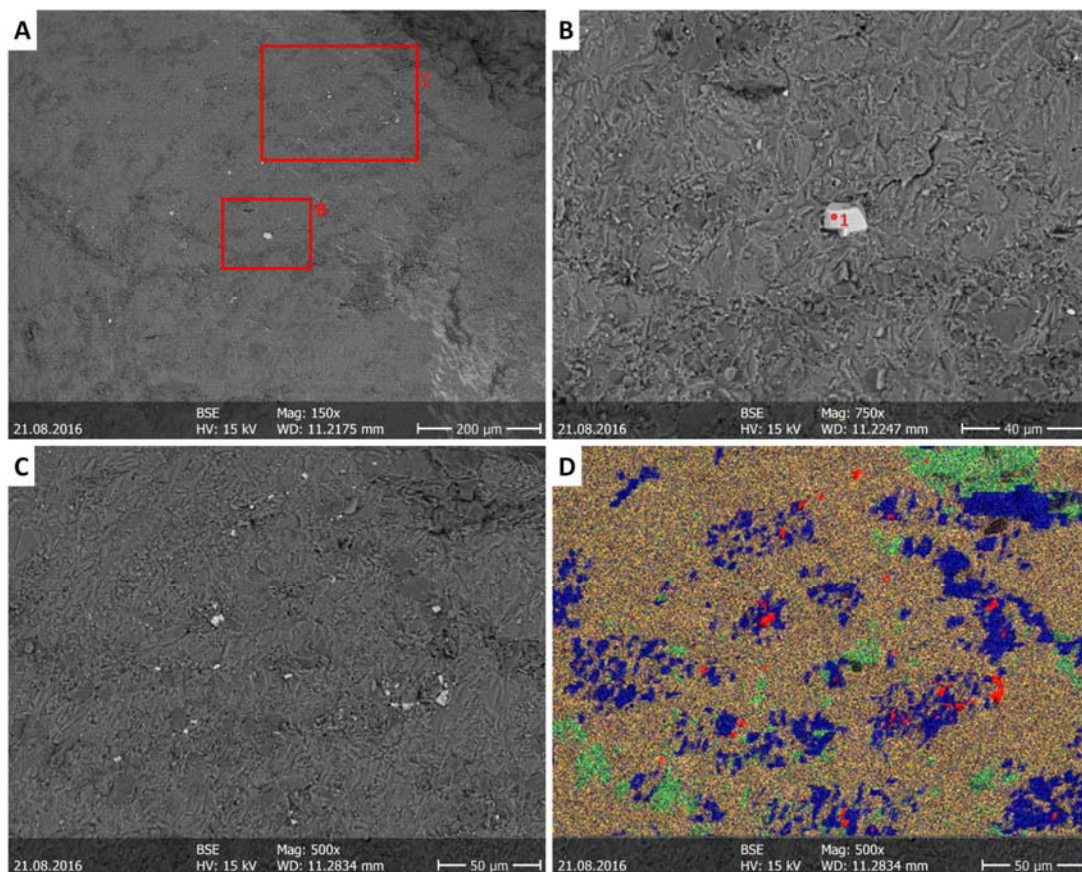
Melléklet II.

TÓTH Zoltán Henrik; KRISTÁLY Ferenc



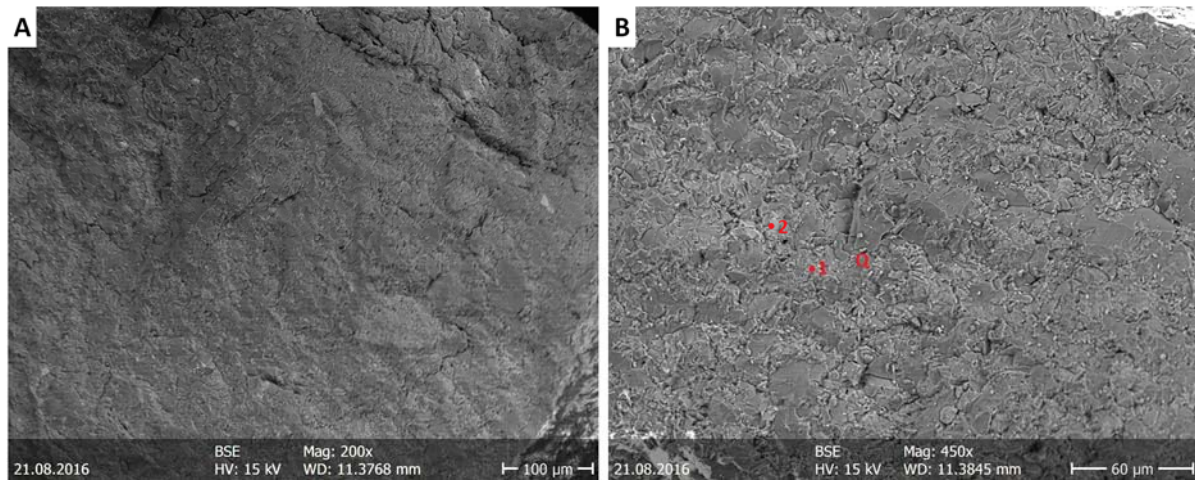
IIa ábra: Az II. típusú nyers metariolit szövetét mutató pásztázó elektronmikroszkópos BSE felvételek. Jelölések: 1: káliföldpát; 2: sanidín; Q: kvarc.

Fig. IIa: Scanning electronmicroscope BSE photos showing the texture of type II. metarhyolite. Markings: 1: K-feldspar; 2: sanidine; Q: quartz.



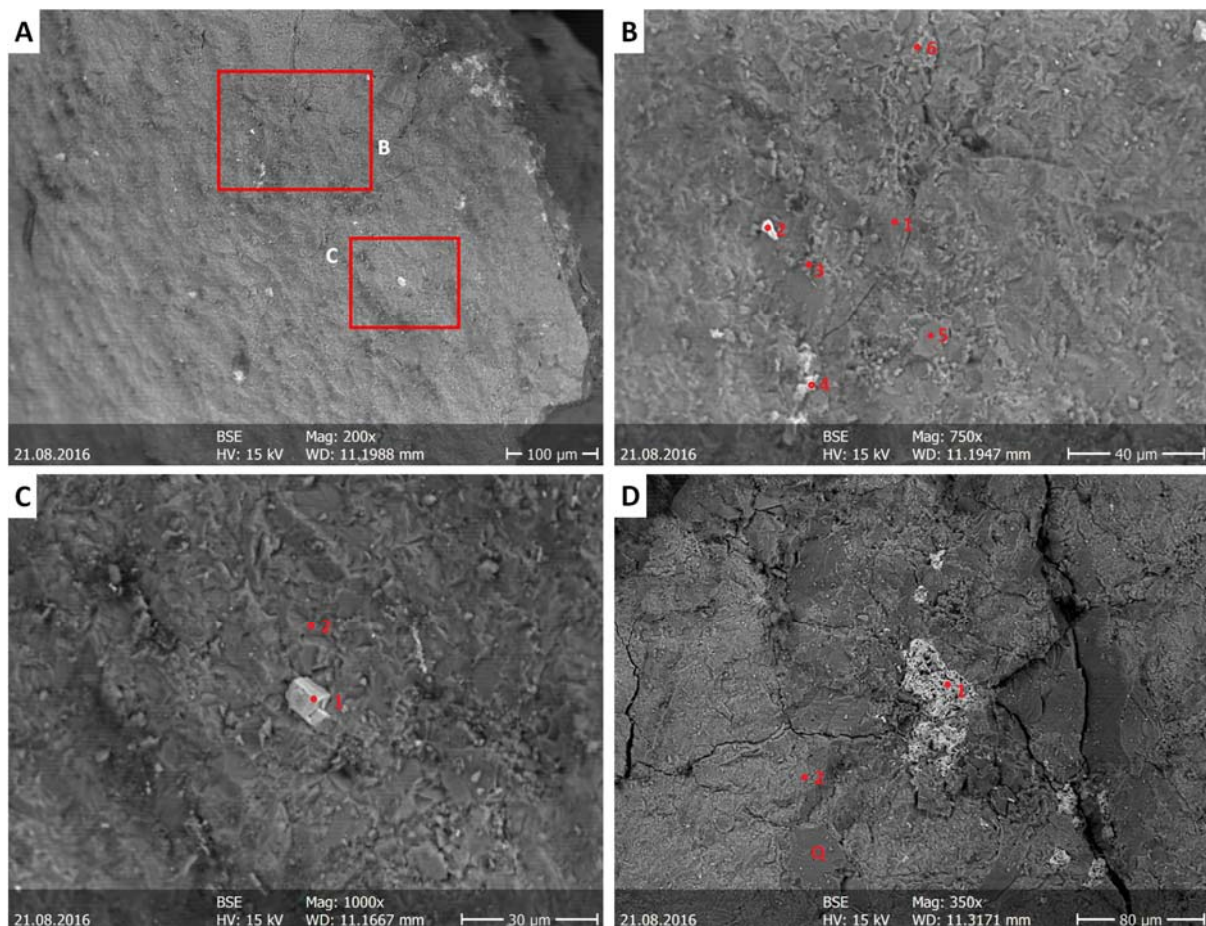
IIb ábra: BSE és SE felvétel a III. típusú, sötétszürke nyers metariolit szövetszerkezetéről. B: 1-Pirit/FeS₂, C: mikrométeres pirit hintés, D: ásványok EDS elem térkép szerinti eloszlása (piros, S = pirit; zöld, Na = albit; kék, Si = kvarc; narancs, K = mikroclin). A földpátokkal jelölt terület feltehetőleg a kőzetüveget is magába foglalja.

Fig. IIb: BSE and SE images of the type III raw metarhyolite samples. B: 1-pyrite/FeS₂, C: micrometer sized pyrite dissemination, D: distribution of mineral according to EDS X-ray maps (red, S = pyrite, green, Na = albit, blue, Si = quartz, orange, K = microcline)



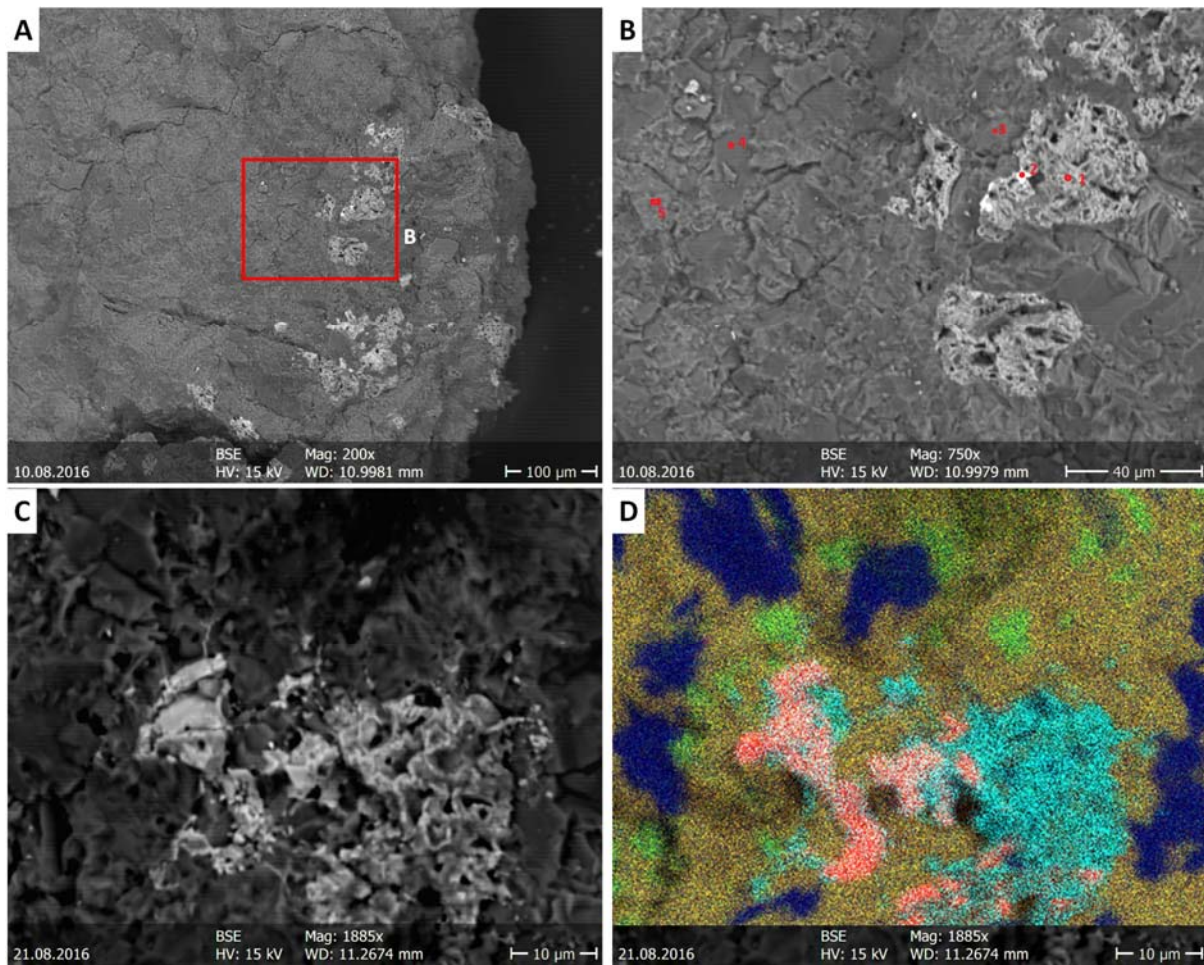
1c ábra: BSE felvétel az áthévíttett, fehér színű I. metariolit mintáról, A: átnézeti kép, a Fe-tartalmú szemcsék hiányoznak, B: részletes kép. Jelmagyarázat: 1: káliföldpát; 2: kőzetüveg, pirit és fluorapatit keveréke; Q: kvarc

Fig. 1c: BSE images of the heated, white type I metarhyolite sample, A: larger view, note the absence of Fe-bearing grains, B: detailed view. Markings: 1: K-feldspar, 2: mineral glass, pyrites and fluorapatite; Q: quartz



1d ábra: Az áthévíttett, szürkésbarna III. típusú metariolit minta BSE felvételei. B: 1-kova, 2-pirit; 3-kova; 4-reziduális vas-szulfid és kőzetüveg; 5-káliföldpát; 6-káliföldpát. C: 1-vasoxid; 2-káliföldpát. D: 1-pirit hőbomlásra szivacsos szerkezettel; 2- káliföldpát; Q-kvarc.

Fig. 1d: BSE images of the heated, grayish brown type III. metarhyolite samples. B: 1-silica, 2-pyrite, 3-silica; 4-residual ferric-sulfide and glass, 5-K-feldspar, 6-K-feldspar. C: 1-Fe-oxide, 2-K-feldspar. D: 1-pyrite with spongy texture due to thermal decomposition, 2-K-feldspar, Q-quartz.



IIe ábra: BSE felvétel az I. típusú áthévítt metariolit minta lila színű részéről. B: 1-reziduális vas-szulfid, és szilikátok keverékes; 2-pirit, galenit és káliföldpát; 3- káliföldpát; 4-káliföldpát és közetüveg; 5-káliföldpát és reziduális vas-szulfid. C: a hőbomlás hatására szivacsos szerkezetű reziduális pirit, D: EDS elem térkép a minta lila színű részéről (piros, S = reziduális pirit; világoskék, Fe = hematit; sötétkék, Si = kvarc; zöld, Na = albit; narancs, K = ortoklász).

Fig. IIe: BSE image of the purple parts from the heated type I. metarhyolite sample. Markings: B: 1-residual ferric-sulfide, albite and clorite; 2- pyrites, galenite and K-feldspar; 3- K-feldspar ; 4- K-feldspar and mineral glass; 5- K-feldspar and residual ferric-sulfite. C: residual pyrites of spongeus structure partial moulded by heat; D: EDS map of the purple part of the sample (red, S= residual pyrites; light blue, Fe= hematite; dark blue, Si= quartz; green, Na= albite; orange, K= Orthoclase)